

## ОДНОМЕРНЫЕ ТЕЧЕНИЯ В ЭЛЕКТРОГАЗОДИНАМИКЕ

Ю. С. БОРТНИКОВ, И. Б. РУБАШОВ

(Москва)

Рассматривается электротрогоазодинамическое (ЭГД) течение в одномерном приближении. Формулируются условия перехода через скорость звука в электротрогоазодинамике. Приводится распределение основных параметров вдоль оси течения. Вводится понятие эффективности ЭГД-процесса и дается аналитическое выражение для к.п.д.

Приводится сравнение экспериментальных и расчетных данных по распределению параметров и эффективности в электротрогоазодинамических процессах.

## Обозначения

$p$ — давление,	$L$ — характерная длина,
$\rho$ — плотность,	$k$ — показатель адабаты,
$V$ — скорость,	$M$ — число Маха,
$E$ — напряженность электрического поля,	$i$ — индекс носителей зарядов,
$\epsilon$ — диэлектрическая проницаемость,	$o$ — индекс входа,
$U$ — потенциал,	$1$ — индекс выхода

ЭГД-течением будем называть течение, в котором определяющими являются инерционные и электростатические силы. Общая система уравнений и граничных условий, описывающих электротрогоазодинамическую задачу [1], в случае одномерного приближения для относительных параметров имеет вид

$$\begin{aligned} \frac{d(\rho V)}{dx} &= 0, & \rho V \frac{dV}{dx} + \frac{1}{kM_0^2} \frac{dp}{dx} - \pi_c \rho_i E = 0 \\ \frac{k}{k-1} \frac{d(pV)}{kM_0^2 dx} + \frac{d}{dx} \left( \frac{\rho V^2}{2} \right) - \pi_c \pi_\beta \rho_i V_i E &= 0 \\ \frac{d(\rho_i V_i)}{dx} &= 0, & \frac{(1-\pi_\beta)E}{\rho} = V - \pi_\beta V_i, & \frac{dE}{dx} = \pi_e \rho_i \\ p = \rho = V = \rho_i = E &= 1 & \text{при } x = 0 \end{aligned} \quad (1)$$

Здесь

$$\pi_c = \frac{\rho_{i0} E_0 L}{\rho_0 V_0^2}, \quad \pi_e = \frac{\rho_{i0} L}{\epsilon E_0}, \quad \pi_\beta = \frac{V_{i0}}{V_0}$$

электротрогоазодинамические критерии, характеризующие задачу.

В данном приближении в системе (1) не рассматриваются процессы теплопроводности и диффузии.

Рассмотрим первый интеграл системы (1)

$$V - 1 + \frac{1}{kM_0^2} (p - 1) - \frac{\pi_c}{\pi_e} \frac{(E^2 - 1)}{2} = 0 \quad (2)$$

В случае  $E^2 > 1$ , который в дальнейшем будет именоваться насосным, происходит увеличение или скорости, или давления среды и срабатывание электрической энергии; в случае  $E^2 < 1$  (генераторный режим) происходит срабатывание энергии потока в электрическую энергию.

Из (2) получаем выражение для производной скорости течения по оси  $x$

$$\frac{dV}{dx} = \frac{M_0^2}{M_0^2 - 1} \pi_c k E \left( 1 - \frac{k-1}{k} \pi_\beta \frac{V_i}{V} \right) \quad (3)$$

Из (3) видно, что в генераторном режиме ( $\pi_c < 0, \pi_\beta < 1, V > V_i$ ) в дозвуковом течении ( $M < 1$ ) скорость потока увеличивается вдоль оси  $x$  ( $dV/dx > 0$ ). Этот вывод является частным случаем общего положения газовой динамики, из которого следует, что при совершении работы дозвуковой поток разгоняется.

В насосном режиме ( $\pi_c > 0, \pi_\beta > 1$ ) следует рассматривать два случая:

$$V_i/V < \pi_\beta(k-1)/k, \quad V_i/V > \pi_\beta(k-1)/k.$$

В первом из них скорость дозвукового потока падает ( $dV/dx < 0$ ), во втором — возрастает ( $dV/dx > 0$ ) по длине канала. Изменение характеристики течения в этих случаях связано с изменением отношения выделяющегося тепла и электрической энергии, т. е. с изменением к.п.д. процесса. В свою очередь эффективность процесса зависит от критерия  $\pi_\beta$ , т. е. от соотношения размерных скоростей  $V^*$  и  $V_i^*$ .

В сверхзвуковом потоке ( $M > 1$ ) в генераторном режиме скорость падает ( $dV/dx < 0$ ). В насосном режиме изменение скорости определяется соотношением  $V^*$  и  $V_i^*$ .

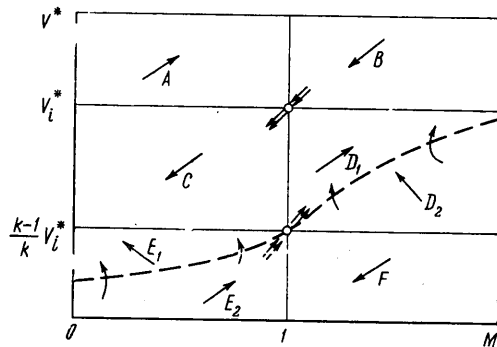
В газовой динамике обычно исследуется не просто изменение скорости потока, а взаимное изменение скорости и числа  $M$ . Из системы (1) можно получить выражение, связывающее производные скорости и числа  $M$  по оси течения:

$$\frac{dM}{dx} = \frac{M}{2V} \left[ (1 + kM^2) \frac{dV}{dx} - kM^2 \pi_c p_i E \right] \quad (4)$$

Совместный анализ выражений (3) и (4) дан на диаграмме фиг. 1. Если  $V^*$  и  $M$  — значения скорости и числа  $M$  в данном сечении, то в областях  $AD_1E_2$  при движении вдоль оси  $x$  точка  $(V^*, M)$  смещается направо вверх; в областях  $B_1C$  — налево вниз; а в областях  $D_2E_1$  — налево вверх (на диаграмме эти направления указаны стрелками). Из диаграммы и уравнений (3) и (4) видно, что переход через скорость звука ( $M = 1$ ) в точках, отличных от  $V^* = V_i^*$  и  $V^* = (k-1)k^{-1}V_i^*$ , невозможен.

Переход через скорость звука в точке  $V^* = V_i^*$  означает переход от генераторного к насосному режиму или наоборот.

Устройство, в котором осуществляется плавный переход через скорость звука посредством изменения режима электрического поля, можно назвать электрогазодинамическим соплом. Условие перехода через скорость звука в ЭГД-течении, записанное в форме (3), (4), — частный случай общего уравнения обращения воздействия, сформулированного Л. А. Вулисом [2].



Фиг. 1

Переход через скорость звука в точке  $V^* = (k - 1)k^{-1}V_i^*$  связан с изменением внутренних характеристик режима (а не с изменением самого режима). Некоторым аналогом ему в газовой динамике является тепловое сопло.

Рассмотрим теперь распределение параметров вдоль оси потока и эффективность ЭГД-преобразования энергии. Анализ проведен для несжимаемой жидкости.

В этом случае система (1) допускает аналитическое решение

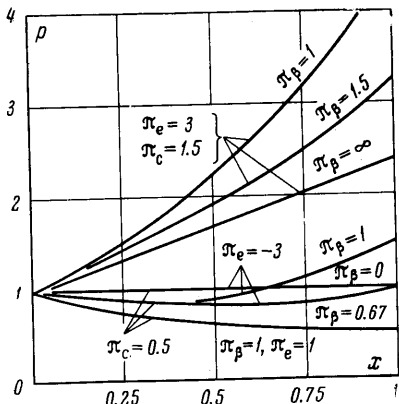
$$E = \frac{1}{1 - \pi_\beta} \left\{ 1 - \pi_\beta \left[ 1 - \frac{2(1 - \pi_\beta)}{\pi_\beta} \pi_e x \right]^{1/2} \right\} \quad (5)$$

$$\rho_i = \left[ 1 - \frac{2(1 - \pi_\beta)}{\pi_\beta} \pi_e x \right]^{-1/2} \quad (6)$$

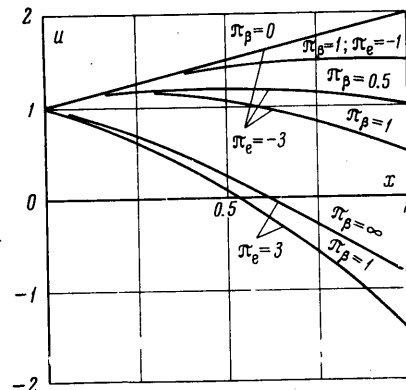
$$p = \frac{\pi_\beta \pi_c}{\pi_e (1 - \pi_\beta)^2} \left[ 1 - \left( 1 - 2\pi_e x \frac{1 - \pi_\beta}{\pi_\beta} \right)^{1/2} \right] - \frac{\pi_\beta \pi_c}{1 - \pi_\beta} x + 1 \quad (7)$$

$$U = 1 \pm \frac{x}{1 - \pi_\beta} \pm \frac{\pi_\beta^2}{3\pi_e (1 - \pi_\beta)^2} \left\{ \left[ 1 - \frac{2(1 - \pi_\beta)}{\pi_\beta} \pi_e x \right]^{3/2} - 1 \right\} \quad (8)$$

Распределение давления по оси  $x$  при выбранных критериях  $\pi_\beta$ ,  $\pi_e$  и  $\pi_c$  показано на фиг. 2. Здесь особенно ясно проявляется возможность реализации двух режимов течения: генераторного и насосного. В чисто насосном режиме внешнее электрическое поле в области движения зарядов сообщает им дополнительную энергию. Часть этой энергии электрического поля механизом взаимодействия зарядов и нейтралов передается последним. В результате увеличивается энергия нейтральной среды — давление возрастает вдоль оси  $x$ . Для насосного режима характерны условия  $\pi_\beta > 1$  и  $\pi_e > 0$ .



Фиг. 2



Фиг. 3

В чисто генераторном режиме внешнее электрическое поле тормозит движение зарядов. В этом случае энергия нейтральной среды механизмом взаимодействия сообщается заряженной компоненте, переходя далее в энергию электрического поля.

Как правило, в генераторном режиме напряженность электрического поля падает по длине канала, а потенциал возрастает (фиг. 3). Для насосного режима характерна обратная картина.

Границным режимом является режим  $\pi_\beta = 0$ . Физически этот случай соответствует ситуации, когда скорость носителей зарядов, приобретаемая в электрическом поле, равна по величине и противоположна по направлению переносной скорости нейтралов, переноса зарядов не происходит. Электрическое поле в области движения эквивалентно полю плоского конденсатора с заданной напряженностью.

Другим предельным случаем является режим  $\pi_\beta = 1$ . В этом случае подвижность носителей зарядов равна нулю, заряды как бы вмороожены в нейтральную среду.

Между генераторным и насосным режимами лежит область переходных или смешанных течений. Из фиг. 3 видно, что напряженность падает вдоль оси  $x$  в генераторном режиме более резко при больших критериях  $\pi_\beta$ . При определенной величине  $\pi_\beta$  напряженность электрического поля в точке  $x = 1$  становится равной нулю. Именно этот диапазон изменения  $\pi_\beta$  характерен для чисто генераторного режима. С дальнейшим повышением  $\pi_\beta$  напряженность поля при изменении по оси  $x$  меняет знак, кривая распределения потенциала приобретает характерный выпуклый вид, а в области течения появляется зона, где происходит обратное преобразование электрической энергии в энергию движения нейтрального потока (давление возрастает). Такой режим течения можно назвать псевдогенераторным. Предельным случаем такого режима является случай  $U_1 = 1$ , т. е. отсутствие генерации напряжения. Следует заметить, что давление в потоке (фиг. 2) при этом все же падает, что объясняется диссипацией энергии при трении компонент.

Соотношение диссипативной энергии трения и энергии электрического поля характеризует эффективность ЭГД-процесса. Вводя понятие внутреннего к.п.д. для генераторного и насосного процессов

$$\eta_1 = \frac{(U_1^* - U_0^*) \rho_i^* V_i^*}{(p_0^* - p_1^*) V^*}, \quad \eta_2 = \frac{(p_1^* - p_0^*) V^*}{(U_1^* - U_0^*) \rho_i^* V_i^*}$$

из соотношений (5) — (8) можно получить следующие выражения:

$$\eta_2 = \frac{\pi_e (1 - \pi_\beta) + 1/3 \pi_\beta^2 [(1 - 2\pi)^{3/2} - 1]}{1 - (1 - 2\pi)^{1/2} - \pi_e (1 - \pi_\beta)} \quad (9)$$

$$\eta_1 = \frac{1 - (1 - 2\pi)^{1/2} - \pi_e (1 - \pi_\beta)}{\pi_e (1 - \pi_\beta) + 1/3 \pi_\beta^2 [(1 - 2\pi)^{3/2} - 1]} \quad (10)$$

$$\pi = \frac{\pi_e (1 - \pi_\beta)}{\pi_\beta}$$

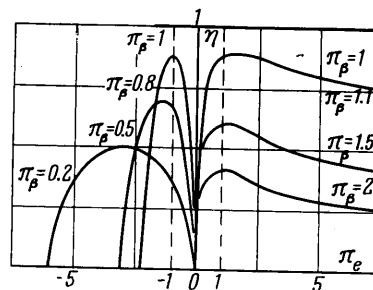
Из выражений (9) и (10) следует, что эффективность гидродинамических преобразователей зависит только от двух критериев:  $\pi_\beta$  и  $\pi_e$ .

На фиг. 4 представлена зависимость к.п.д. от критериев  $\pi_\beta$  и  $\pi_e$  для генераторного и насосного режимов. Максимум для генераторного режима соответствует тому случаю (как уже говорилось выше), когда  $E_1 = 0$ , и во всей области течения происходит только преобразование механической энергии в электрическую. Соотношение между критериями, определяющее случай максимума к.п.д., можно найти из (5), положив в нем  $E = 0$  и  $x = 1$

$$\pi_e = -(\pi_\beta + 1) / 2\pi_\beta \quad (11)$$

Величина  $\pi_e$ , при котором к.п.д. снова обращается в нуль, соответствует концу генераторного режима. Это значение  $\pi_e$  можно найти из выражения (8), положив в нем  $U = 1$  и  $x = 1$ . После алгебраических преобразований получим следующее соотношение между критериями:

$$\pi_e^2 + \frac{9 - 12\pi_\beta^2}{8\pi_\beta(1 - \pi_\beta)} \pi_e - \frac{6\pi_\beta}{8(1 - \pi_\beta)} = 0 \quad (12)$$



Фиг. 4

При увеличении критерия  $\pi_B$  максимум к.п.д. увеличивается, а диапазон генераторного режима сужается. В случае  $\pi_B = 1$  диапазон генераторного режима лежит между 0 и -2, при этом  $\eta_1 = 1$ .

Физически этот случай, наиболее благоприятствующий генерированию электроэнергии, соответствует работе в среде с нулевой подвижностью носителей зарядов (например, случай генератора Ван-де-Граафа) при наличии преобразования механической энергии в электрическую по всей области течения ( $E_1 = 0$ ).

Для насосного режима к.п.д. при данном  $\pi_B$  изменяется от нуля до максимума и далее асимптотически приближается к нулю при  $\pi_e \rightarrow \infty$ .

Максимумы к.п.д. при любом  $\pi_B$  лежат при значении  $\pi_e = 1$ .

При значении  $\pi_B = 1$   $\eta_2 = 1$  и не зависит от  $\pi_e$ .

Физически этот случай соответствует работе в среде с нулевой подвижностью носителей зарядов без учета гидравлических потерь на трение.

В результате анализа зависимости эффективности гидродинамического преобразования от критериев можно построить результирующий график, определяющий максимальный к.п.д. преобразования.

На фиг. 5 показана такая зависимость для генераторного и насосного режимов от критерия  $\pi_B$ .

Из графика видно, что к.п.д. преобразования, максимальный в случае  $\pi_B = 1$  (подвижность равна нулю), уменьшается до нуля при стремлении  $\pi_B$  к бесконечности и к нулю.

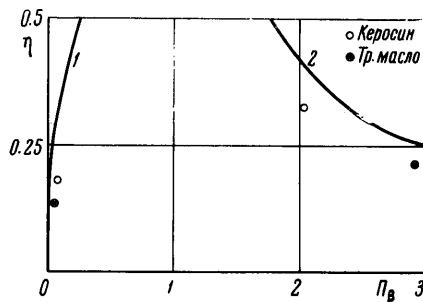
В практически интересных областях от  $\pi_B = 0.05$  до  $\pi_B = 2.5$  к.п.д. не ниже 30%, что показывает принципиальную возможность успешного практического применения электрогидродинамических преобразователей.

Рассмотрим теперь вопрос о согласовании данных, полученных при экспериментальном исследовании ЭГД-потока с теоретическими результатами, полученными в одномерном приближении.

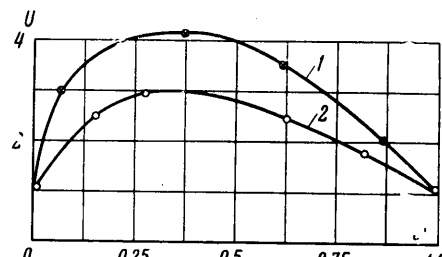
При проведении эксперимента в качестве униполлярного источника зарядов применялся коаксиальный коронный разряд. Смесь заряженной и нейтральной компонент направлялась в канал с диэлектрическими стенками, по длине которого производились необходимые измерения.

Распределение потенциала вдоль оси канала, снимаемое методом зонда Сато, качественно подтверждает выводы одномерного приближения о характере распределения потенциала и напряженности в генераторном и насосном режимах. Типичная экспериментальная характеристика распределения потенциала вдоль оси канала приведена на фиг. 6. Там же приведено распределение потенциала (кривая 2), полученное в работе [3], при аналогичных условиях методом плавающего зонда. Сравнение кривых на фиг. 3 и 6 позволяет говорить о качественном совпадении теоретических и экспериментальных данных.

Теоретические представления об эффективности ЭГД-преобразования энергии подтверждаются исследованиями работы ЭГД-генератора элек-



Фиг. 5



Фиг. 6

рического тока и ионно-конвекционного насоса для перекачивания диэлектрических жидкостей [1, 4].

На фиг. 5 нанесены экспериментальные точки, соответствующие работе ЭГД-преобразователей при оптимальных параметрах на трансформаторном масле и техническом керосине.

Экспериментальные данные подтверждают качественные тенденции, полученные при одномерном рассмотрении. Практически реализующийся уровень эффективности преобразователей объясняется, во-первых, наличием гидравлических потерь, не учитываемых при одномерном решении, и, во-вторых, особенностям реального трехмерного потока.

В заключение авторы выражают глубокую благодарность Н. С. Лидоренко за постоянное внимание и руководство работой и Г. А. Любимову за ценные замечания при обсуждении рукописи.

Поступило 23 V 1968

#### ЛИТЕРАТУРА

1. Бортников Ю. С., Рубашов И. Б. Некоторые вопросы исследования системы уравнений электрогазодинамики. Магнитная гидродинамика, 1968, № 2.
2. Вулис Л. А. Термодинамика газовых потоков. М., Госэнергоиздат, 1950.
3. Kahn B. K., Gourdin M. C. Electrogasdynamic power generation. AIAA Journal, 1964, vol. 2, № 8.
4. Белевцев А. Т., Бортников Ю. С., Лидоренко Н. С., Мучник Г. Ф., Рубашов И. Б. Электрогазодинамический генератор. Теплофизика высоких температур, 1968, № 2.